

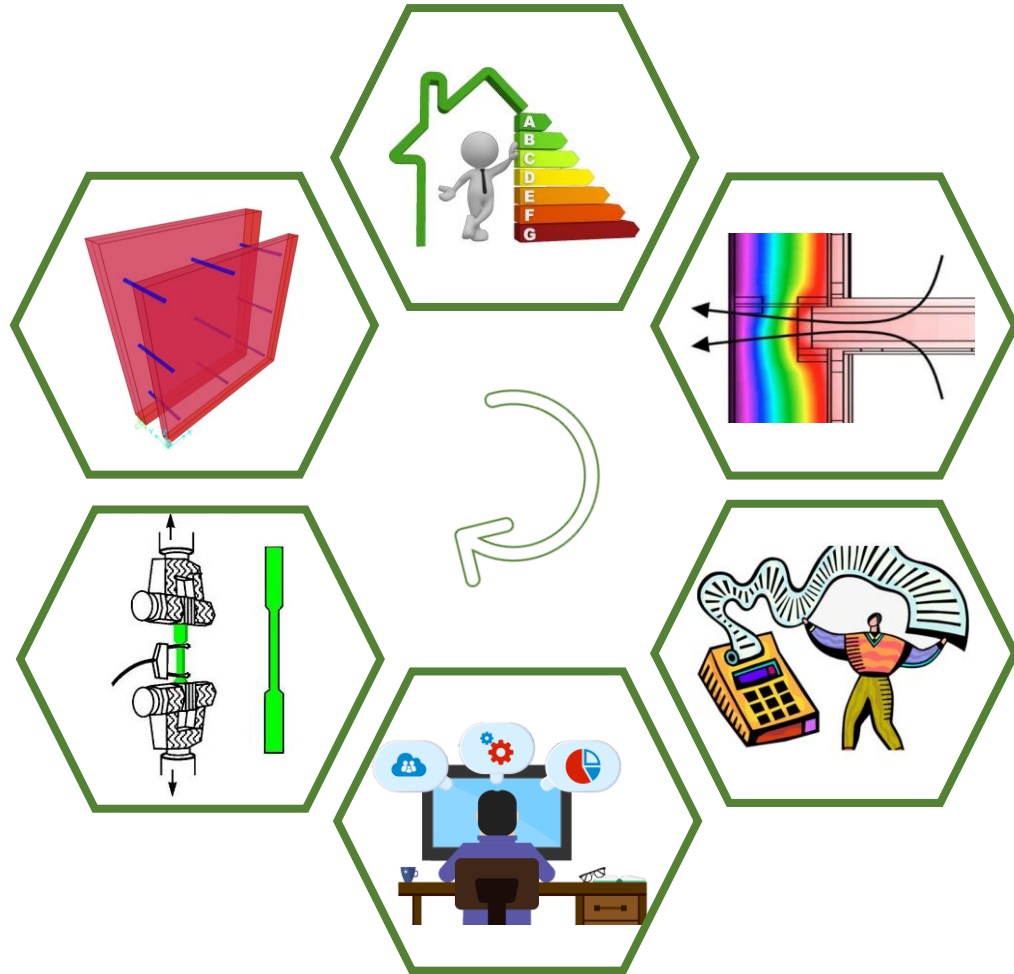


UTJECAJ VRSTE SPONA NA TOČKASTE TOPLINSKE MOSTOVE I OPTIMIZACIJA NJIHOVA RASPOREDA ZA POVEĆANJE KRUTOSTI PREDGOTOVLJENIH ZIDNIH PANELA

Lucija Martinić, Katarina Marić, Valentina Pogačić

Mentori: Bojan Milovanović, Mario Uroš





Održivost u zgradarstvu

Toplinski mostovi

Proračun metodom kontrolnih volumena

Proračun u komercijalnom programu

Laboratorijsko ispitivanje

Optimizacija rasporeda spona

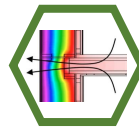




Održivost u zgradarstvu

- Zahtjevi:
 - Znatno smanjenje uporaba energije
 - Ponovna iskoristivost i recikliranje materijala
 - Zadovoljstvo čovjeka
 - Minimalni utjecaji na okoliš i minimalna ugrađena energija
- Neopasni građevinski otpad - veliki potencijal za recikliranje i ponovnu upotrebu
- Smanjenje energije od građenja do rušenja
- Zgradarstvo čini oko 40% potrošene energije, od čega 75% na zagrijavanje prostorija
- Poboljšanje toplinske ovojnice zgrade
- Toplinski mostovi čine 30% transmisijskih gubitaka energije





Toplinski mostovi

- Manje područje u ovojnici zgrade gdje je povećani gubitak topline
- Posljedice – pljesan, kondenzacija vodene pare, pukotine, povećano zadržavanje prašine, sl.
- Podjela:
 - Linijski toplinski mostovi
 - Točkasti toplinski mostovi
- Održivi proizvod:
 - Proizvodnja u kontroliranim uvjetima
 - Upotreba recikliranih materijala
 - Mala „U“ vrijednost $< 0,20 \text{ W/m}^2\text{K}$
- Mogućnost poboljšanja – čelične spone s polimer kompozitnim sponama



ECO-SANDWICH® – nenosivi predgotovljeni ventilirani zidni panel





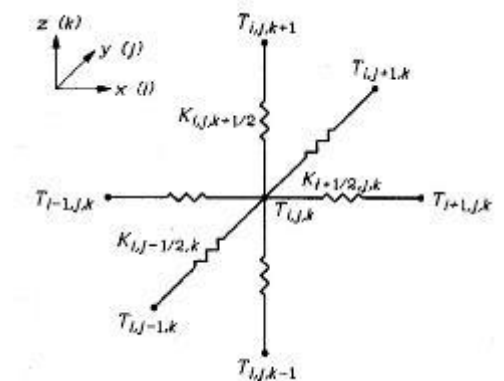
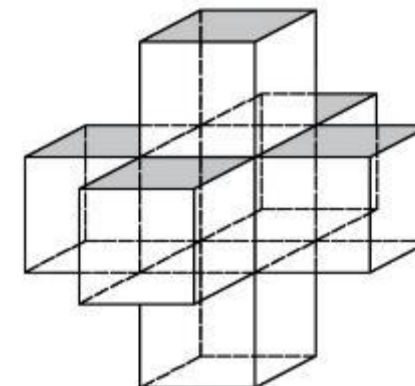
Proračun metodom kontrolnih volumena

$$\frac{\partial}{\partial x}(\lambda_z \cdot \frac{\partial T}{\partial x}) + \frac{\partial}{\partial y}(\lambda_y \cdot \frac{\partial T}{\partial y}) + \frac{\partial}{\partial z}(\lambda_z \cdot \frac{\partial T}{\partial z}) + I(x, y, z, t) = C \cdot \frac{\partial T}{\partial t}$$

- Diferencijalna jednadžba provođenja topline
- Geometrijska podjela tijela na elementarne volumene
- Diskretizacija u središnjem čvoru

$$H_{i,j,k} = K_{i-0.5,j,k} \cdot (T_{i-1,j,k} - T_{i,j,k}) + K_{i+0.5,j,k} \cdot (T_{i+1,j,k} - T_{i,j,k}) + \\ K_{i,j-0.5,k} \cdot (T_{i,j-1,k} - T_{i,j,k}) + K_{i,j+0.5,k} \cdot (T_{i,j+1,k} - T_{i,j,k}) + \\ K_{i,j,k-0.5} \cdot (T_{i,j,k+1} - T_{i,j,k}) + K_{i,j,k+0.5} \cdot (T_{i,j,k+1} - T_{i,j,k}) [W/m]$$

- Rezultati – temperature čvorova kontrolnih volumena



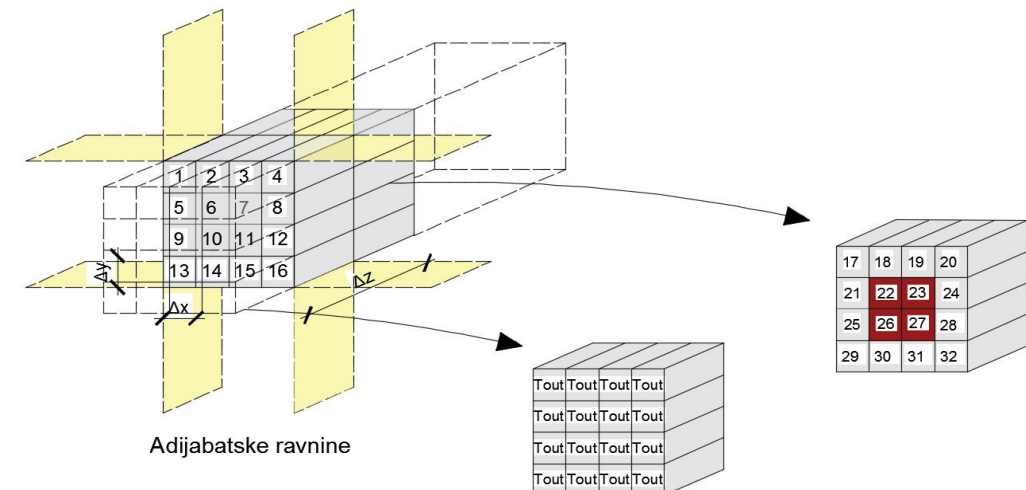
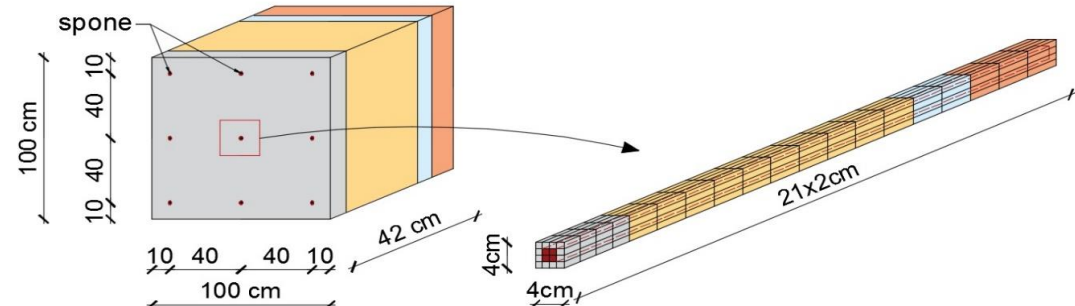


Proračun metodom kontrolnih volumena

Ukupan broj promatranih kontrolnih volumena

336

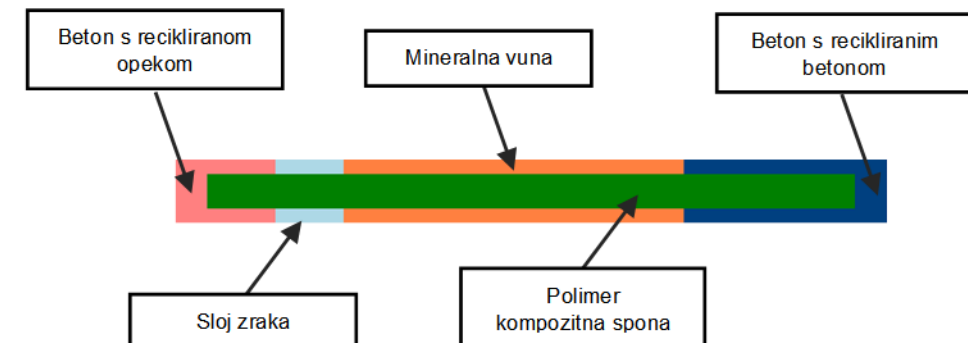
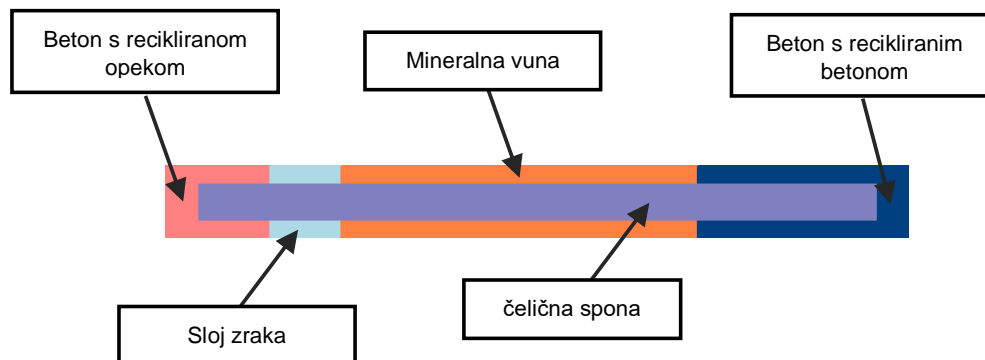
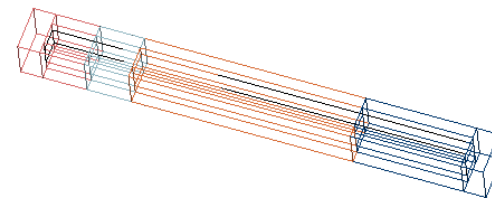
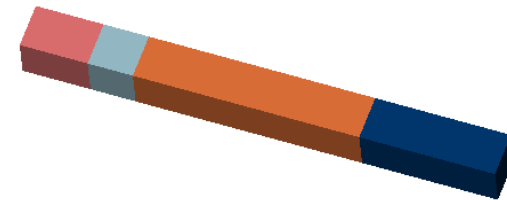
Ukupan broj jednadžbi





Proračun u komercijalnom programu

- Komercijalni program AnTherm
- Numerički model jednak promatranom modelu u metodi kontrolnih volumena
- Dva modela:
 - Panel s čeličnim sponama
 - Panel s polimernim kompozitnim sponama

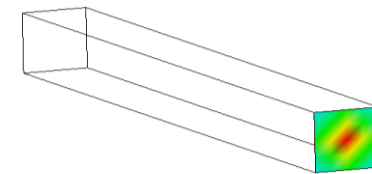
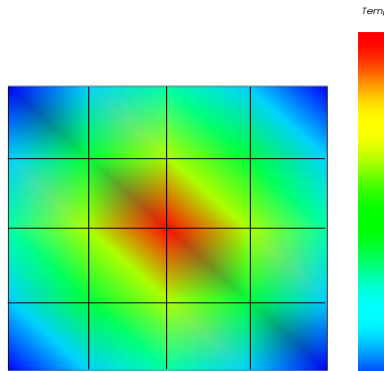




Usporedba rezultata model s čeličnim sponama

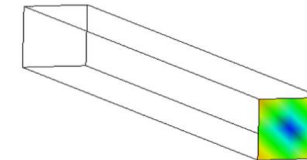
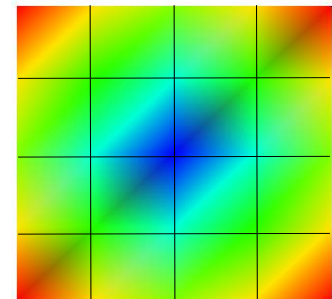


-5,17094	-5,10624	-5,10624	-5,17094
-5,10624	-4,92657	-4,92657	-5,10624
-5,10624	-4,92657	-4,92657	-5,10624
-5,17094	-5,10624	-5,10624	-5,17094



Vanjska površina

7,02588	6,96825	6,96825	7,02588
6,96825	6,81037	6,81037	6,96825
6,96825	6,81037	6,81037	6,96825
7,02588	6,96825	6,96825	7,02588



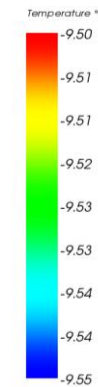
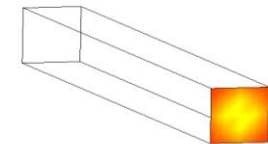
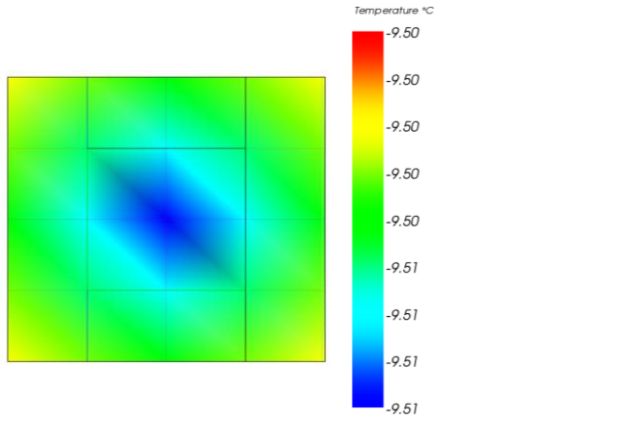
Unutarnja površina





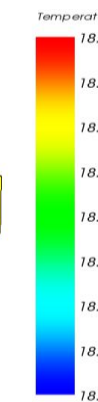
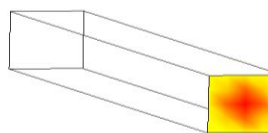
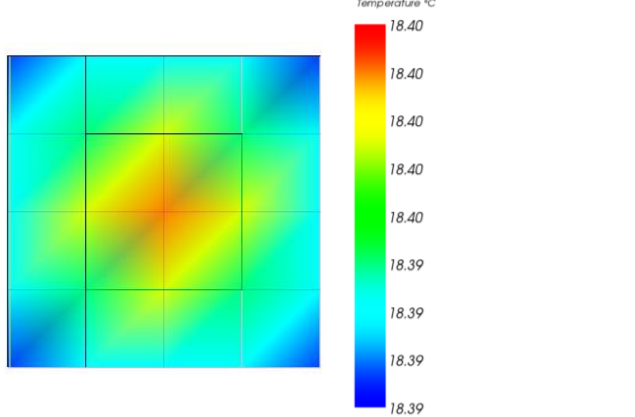
Usporedba rezultata model s polimernim kompozitnim sponama

-9,33586	-9,33934	-9,33934	-9,33586
-9,33934	-9,35077	-9,35077	-9,33934
-9,33934	-9,35077	-9,35077	-9,33934
-9,33586	-9,33934	-9,33934	-9,33586



Vanjska površina

18,24690	18,25078	18,25078	18,24690
18,25078	18,26306	18,26306	18,25078
18,25078	18,26306	18,26306	18,25078
18,24690	18,25078	18,25078	18,24690



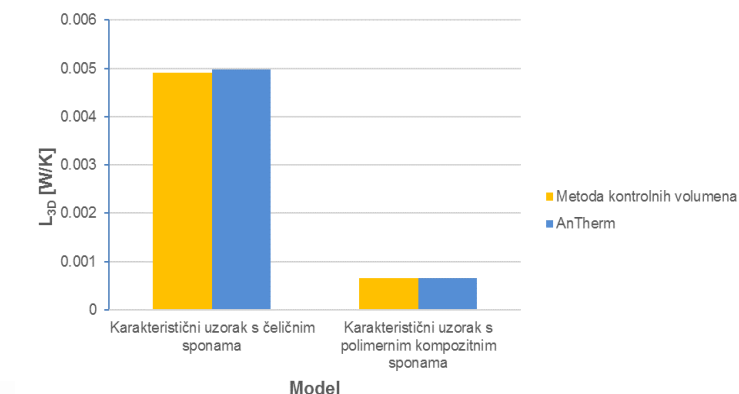
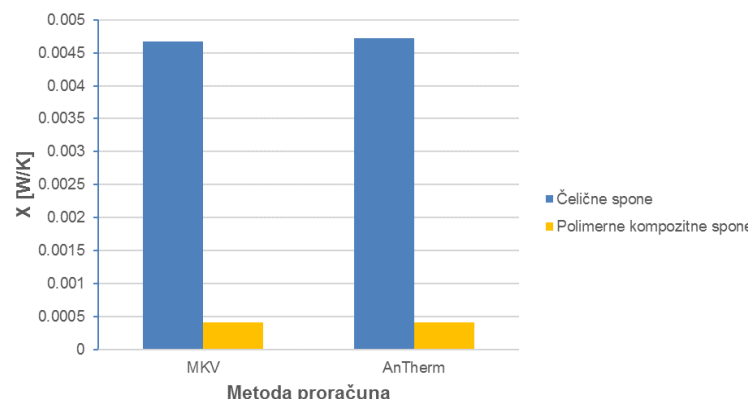
Unutarnja površina





Usporedba rezultata

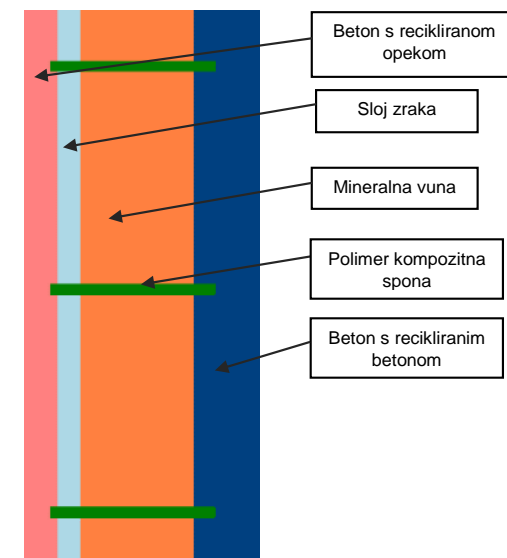
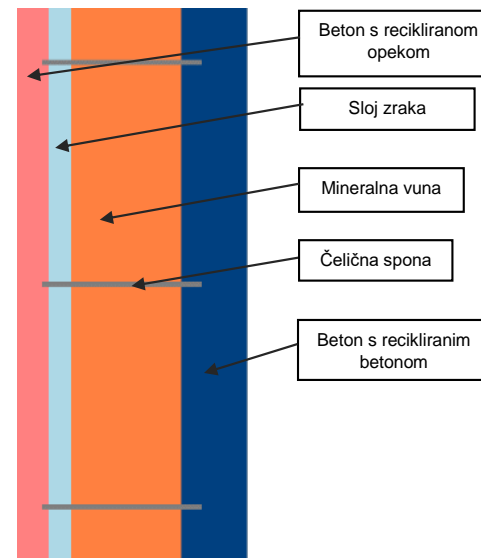
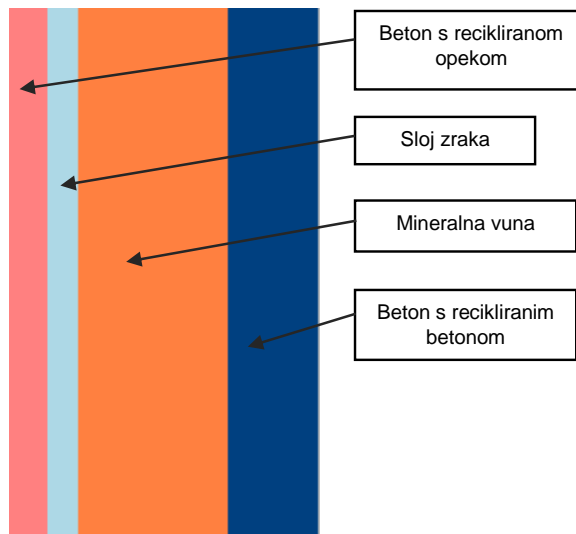
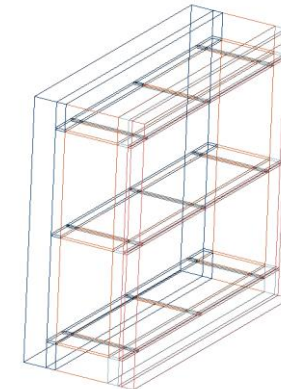
	Spone	U [W/(m ² K)]	A [m ²]	L_{3D} [W/K]	X [W/K]
MKV	Čelične	0,155087	0,0016	0,004916	0,004668
	Polimerne kompositne	0,155087	0,0016	0,000658	0,0004098
AnTherm	Čelične	0,155662	0,0016	0,004974	0,004725
	Polimerne kompositne	0,155662	0,0016	0,000659	0,00041





Proračun u komercijalnom programu

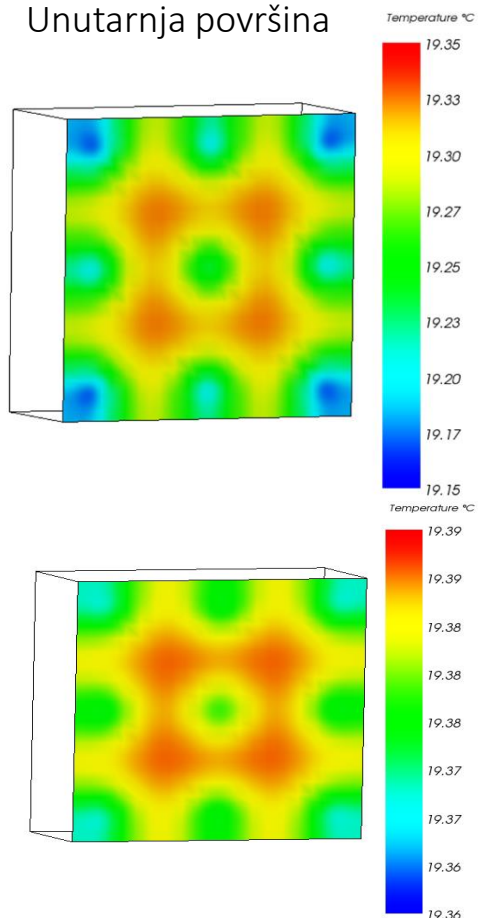
- Tri modela cijelog panela:
 - Panel bez spona
 - Panel s čeličnim sponama
 - Panel s polimernim kompozitnim sponama



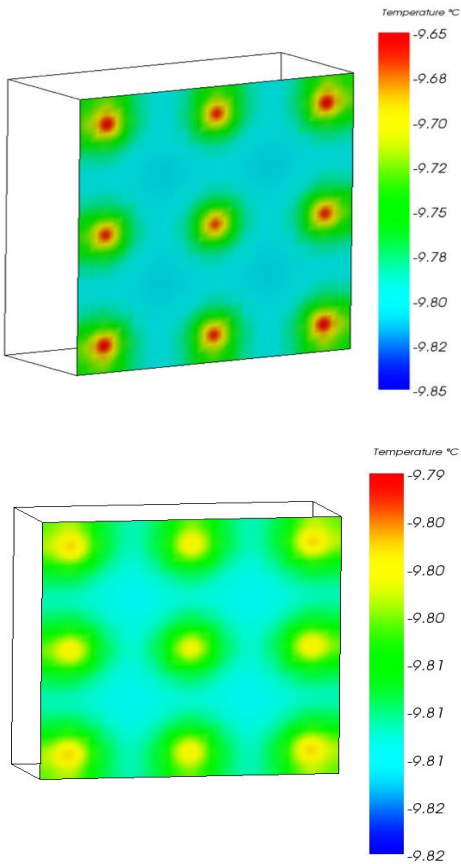


Proračun u komercijalnom programu

Unutarnja površina

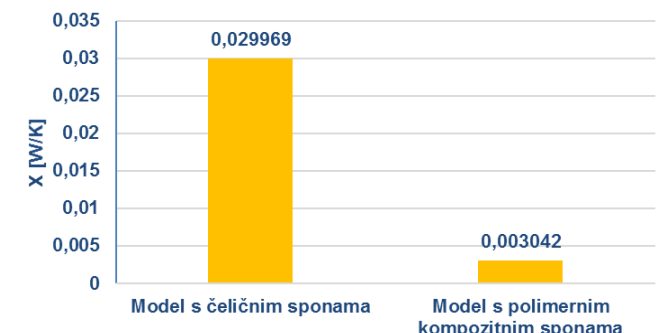
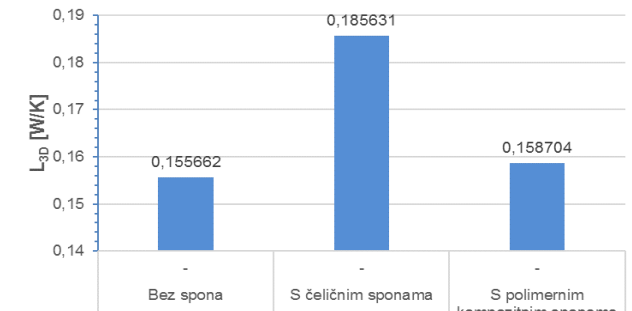


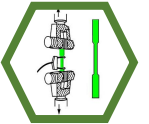
Vanjska površina



Model s čeličnim sponama

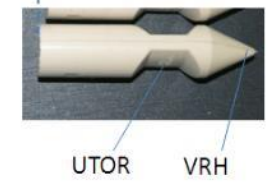
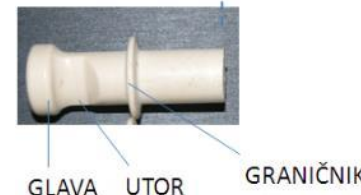
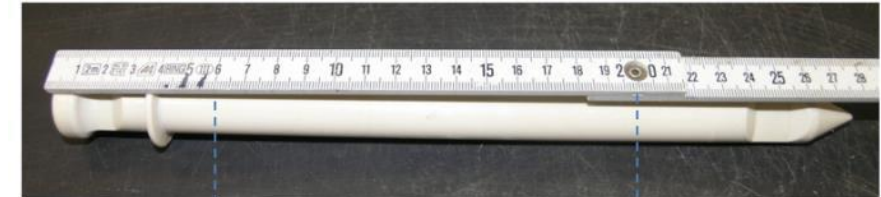
Model s polimer kompozitnim sponama

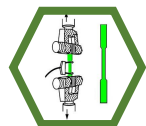




Laboratorijsko ispitivanje

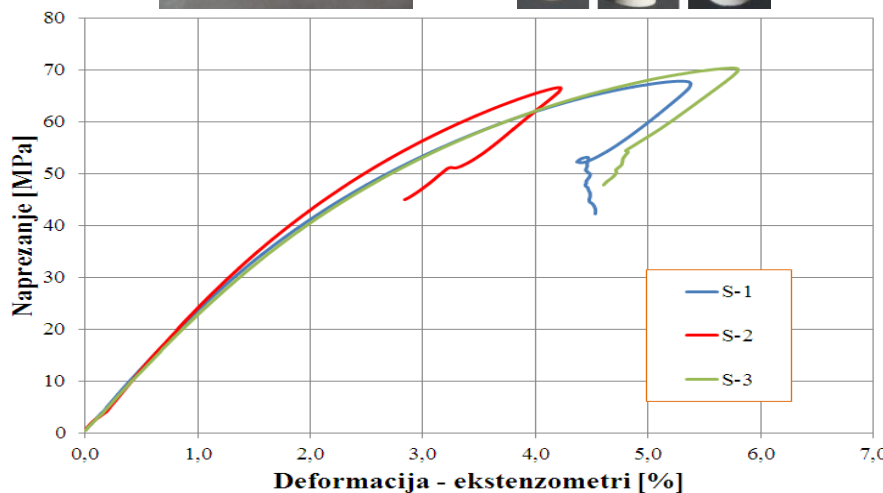
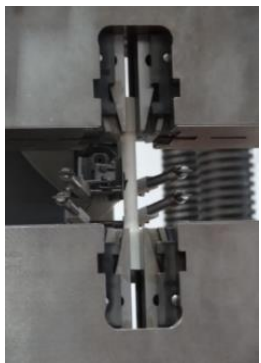
- Kalibracija numeričkog modela
- Spone tvrtke HK Composites – ST200
- Obuhvaćena ispitivanja polimernih kompozitnih spona:
 - Vlačna čvrstoća
 - Odrez
 - Sila čupanja
 - Nosivost zidnog panela:
 - Dinamičko opterećenje
 - Cikličko opterećenje



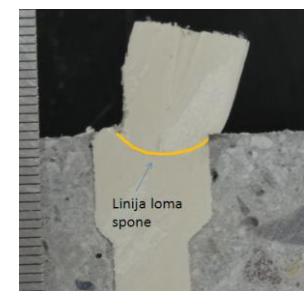
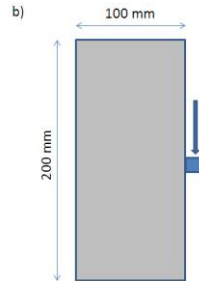
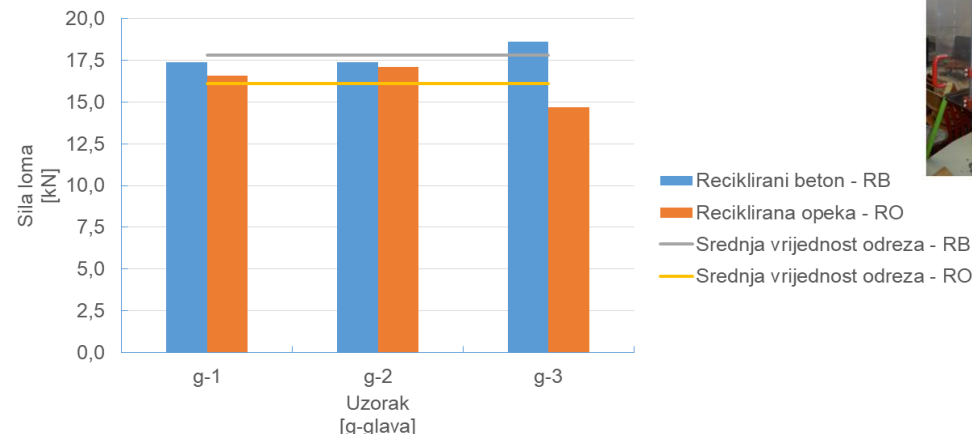


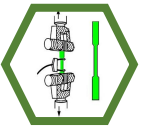
Laboratorijsko ispitivanje

Vlačna čvrstoća



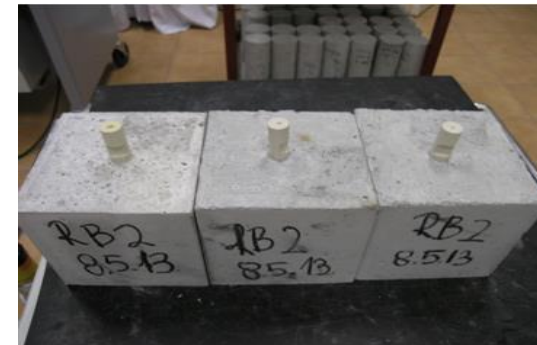
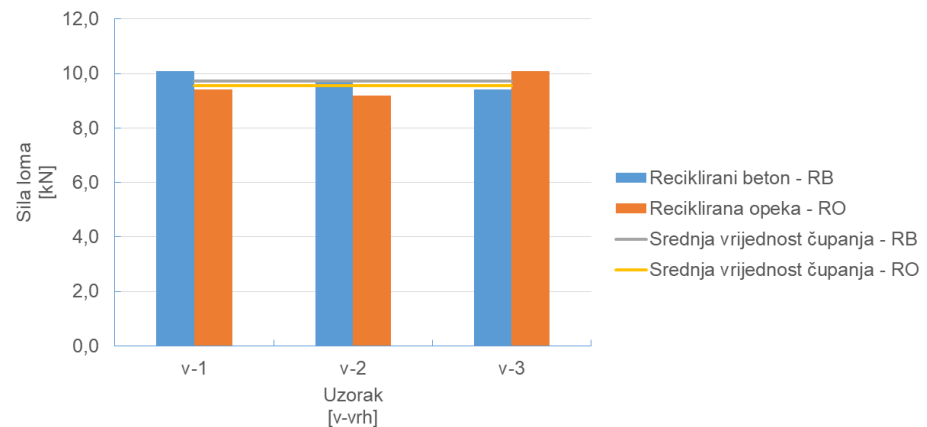
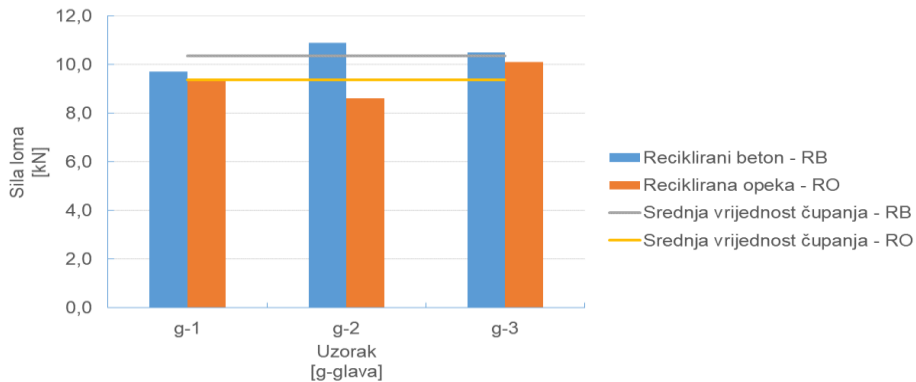
Odrez





Laboratorijsko ispitivanje

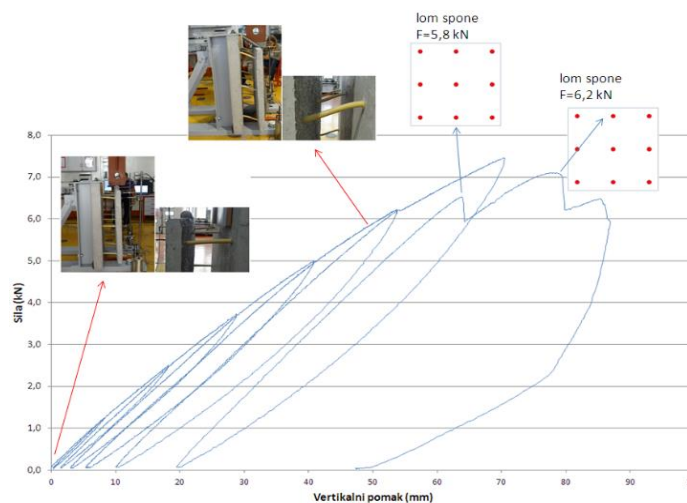
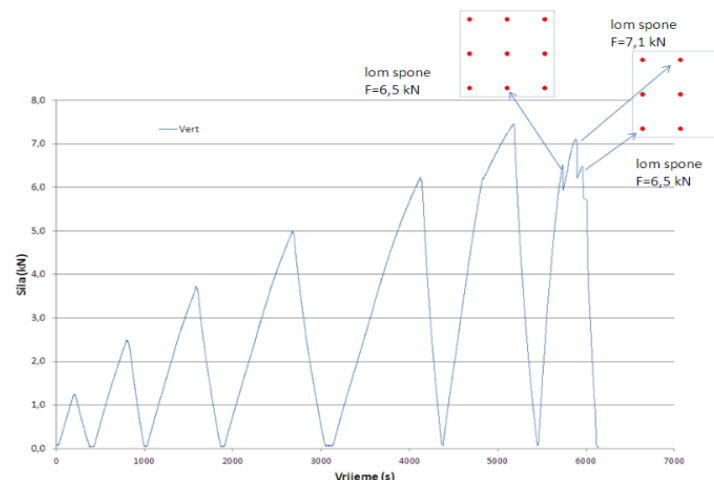
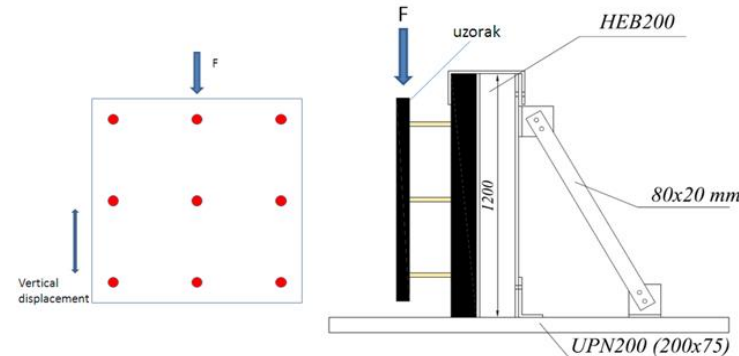
Sila čupanja





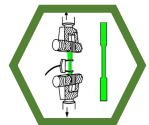
Laboratorijsko ispitivanje

- 3 uzorka – nosivi sloj, vanjski sloj, polimer kompozitne spone
- Dimenziije panela 1,2x1,0 m
- Beton s 50% agregata recikliranog betona
- Problem – početni progib od 1 cm



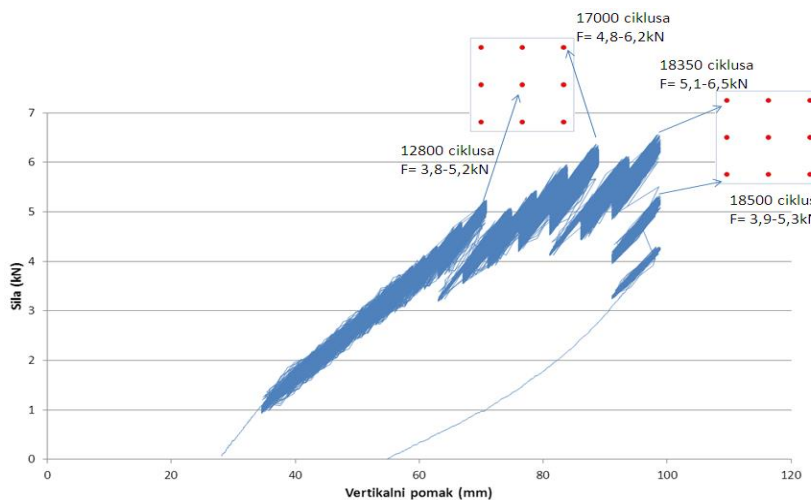
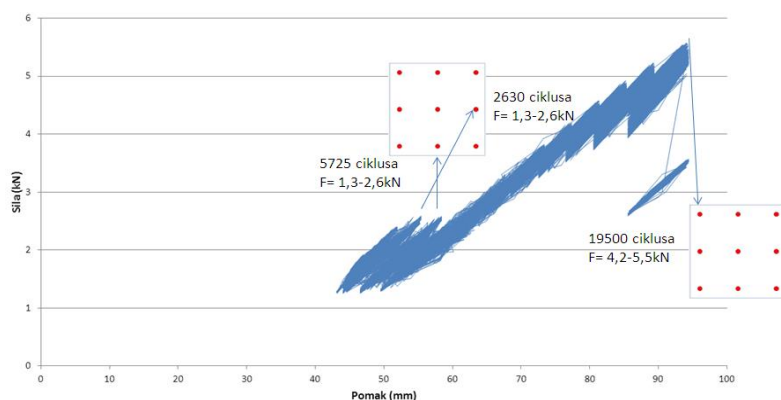
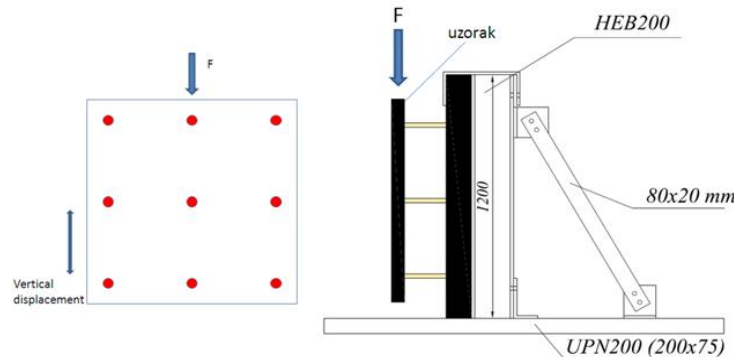
Dinamičko opterećenje





Laboratorijsko ispitivanje

- Frekvencija osciliranja 2 Hz
- Amplituda pomaka 4-4,5 mm – promjena sile u granicama vrijednosti jedne vlastite težine vanjskog sloja
- Povećanje opterećenja svakih 1000 ciklusa za 2-4 mm



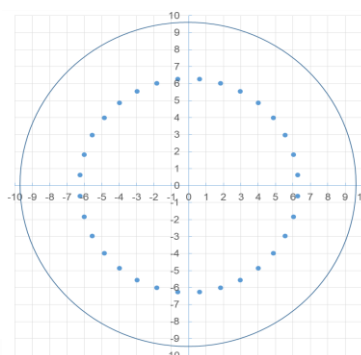
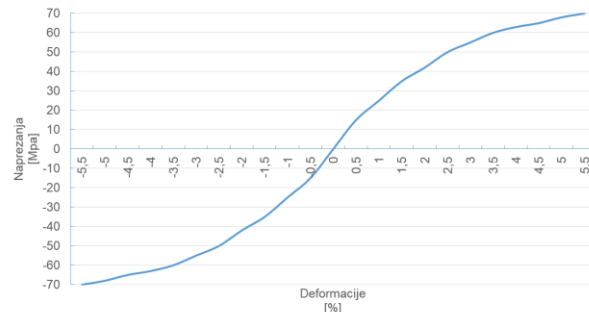
Cikličko opterećenje



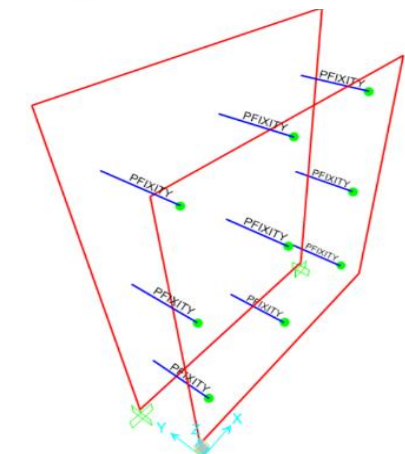
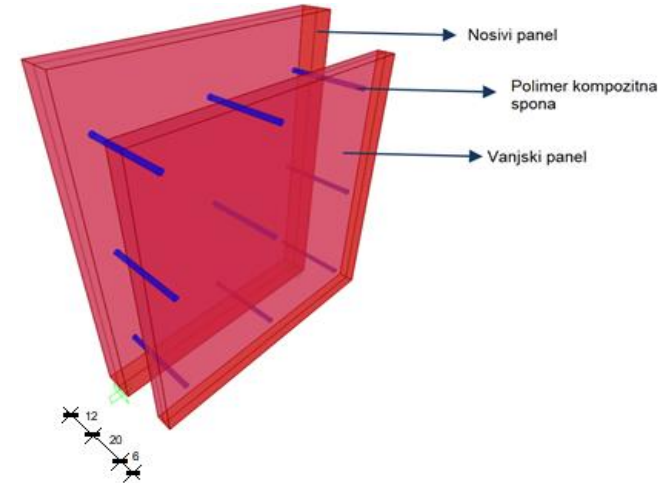


Optimizacija rasporeda spona

- Motivacija – početni progib uslijed vlastite težine vanjskog panela
- Mehaničke karakteristike elemenata - prema poznatim podacima dobivenim iz laboratorijskog ispitivanja
- Rubni uvjeti – jednaki onima u laboratoriju
- Proračuni:
 - Linearni – početni progib, dinamičko opterećenje i varijante ojačanja
 - Nelinearni – početni progib

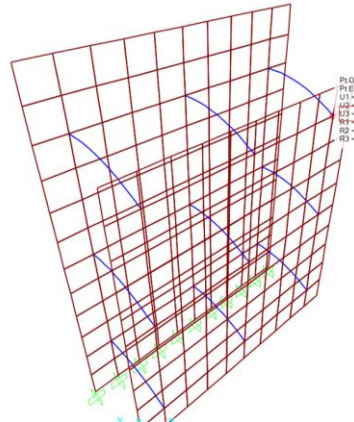


Ulagani parametri za nelinearni proračun





Optimizacija rasporeda spona – usporedba rezultata

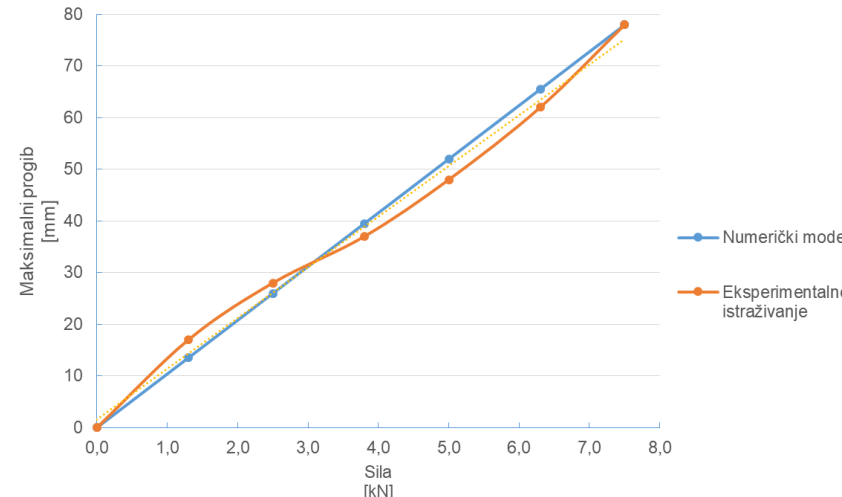
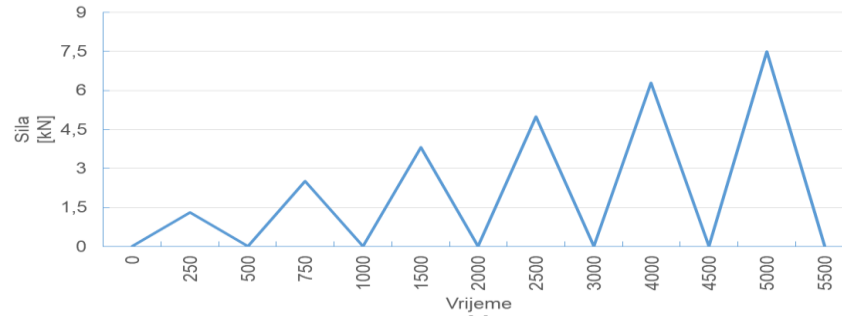


Pt Obj: 23
Pt Elm: 23
U1 = -1.98E-05
U2 = -0.0343
U3 = -12.7021
R1 = 7E-05
R2 = -6.631E-07
R3 = 1.544E-06

Linearni proračun
10,85 mm

Pt Obj: 23
Pt Elm: 23
U1 = -1.98E-05
U2 = -0.0343
U3 = -12.7021
R1 = 7E-05
R2 = -6.631E-07
R3 = 1.544E-06

Nelinearni proračun
12,70 mm



Dinamički proračun - 2,38 %



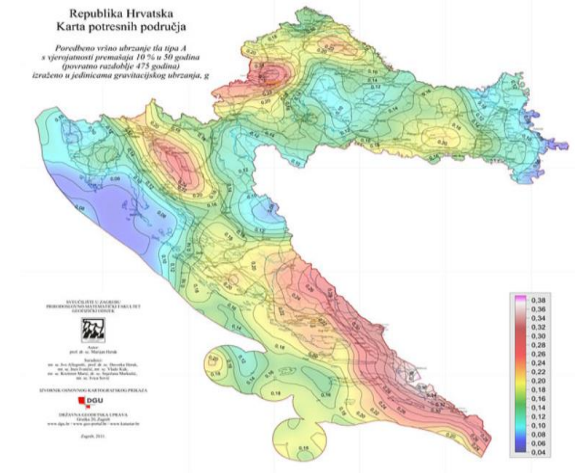


Optimizacija rasporeda spona

- Republika Hrvatska - seizmički aktivno područje
- Eurokod 8 – HRN EN 1998-1:2004+AC:2009
- Vršno ubrzanje temeljnog tla obzirom na odabranu lokaciju – Dubrovnik
- Povratno razdoblje od 475 godina
- Određivanje potresne sile u smjeru osi x i z za zamišljenu zgradu definirane geometrije

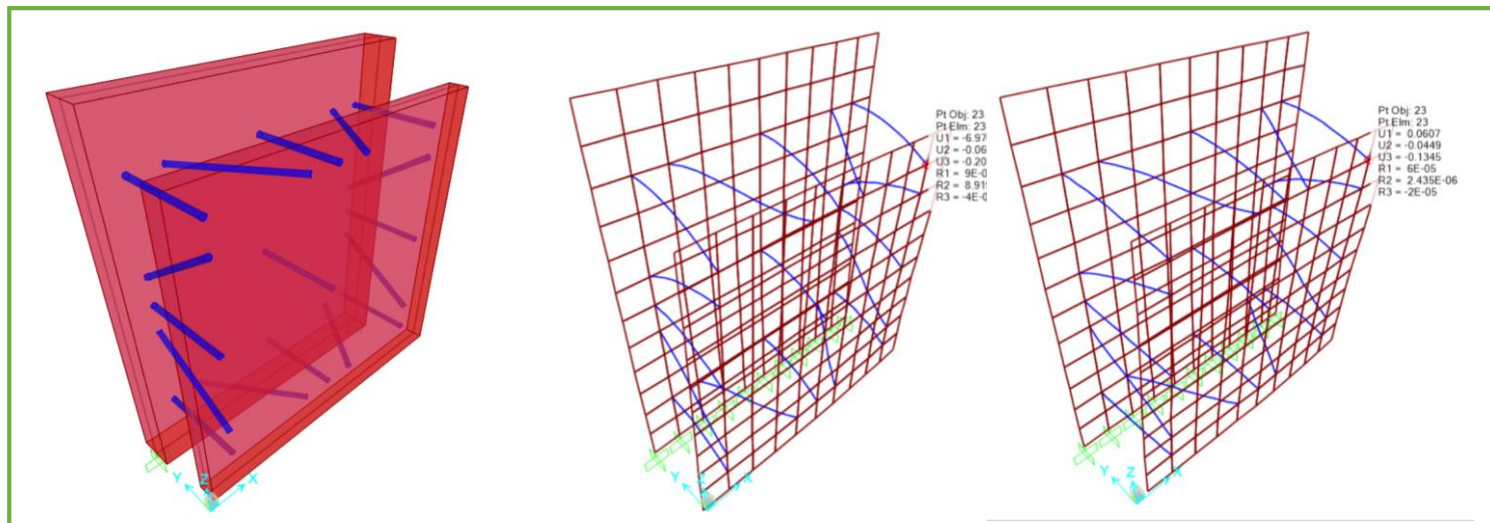
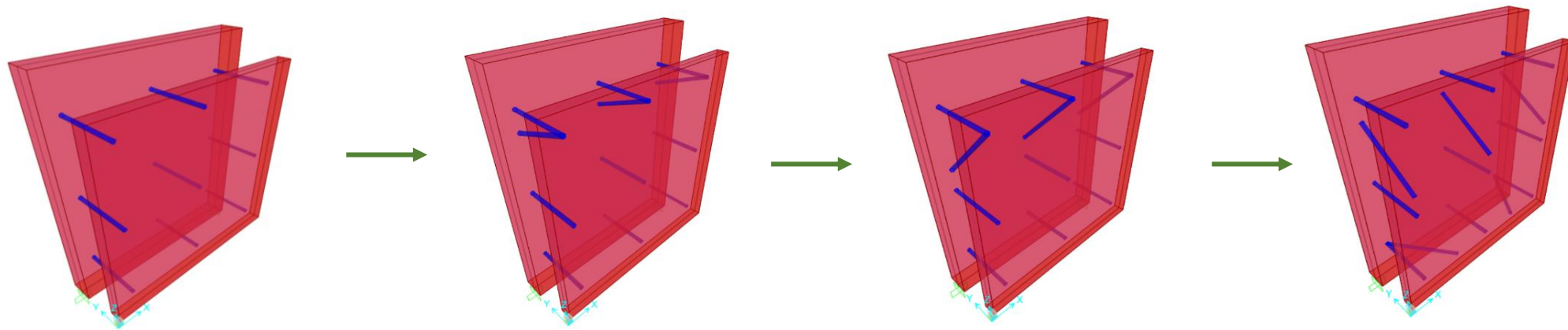
$$F_a = \frac{S_a \cdot W_a \cdot \gamma_a}{q_a}$$

Numerički model	Period [s]	Potresna sila [kN]
Bez ojačanja	Potres X – smjer	0,205
	Potres Z - smjer	0,209
br. 1	Potres X – smjer	0,191
	Potres Z - smjer	0,049
br. 2	Potres X – smjer	0,181
	Potres Z - smjer	0,027
br. 3	Potres X – smjer	0,049
	Potres Z - smjer	0,208
br. 4	Potres X – smjer	0,021
	Potres Z - smjer	0,026



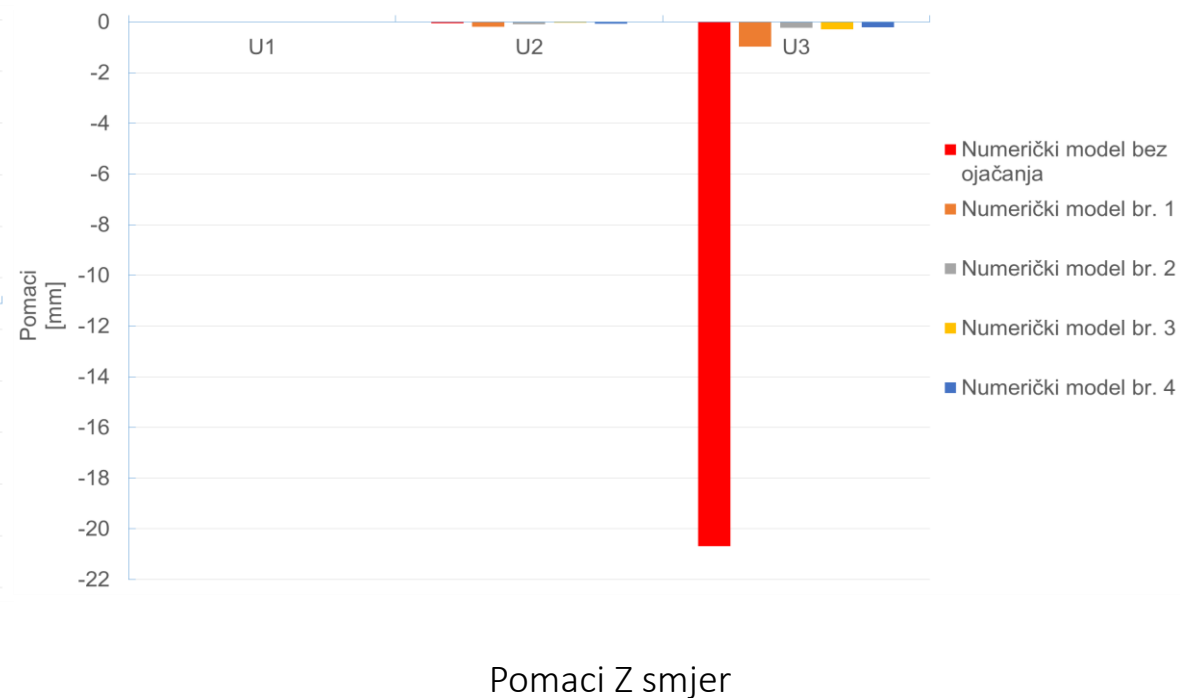
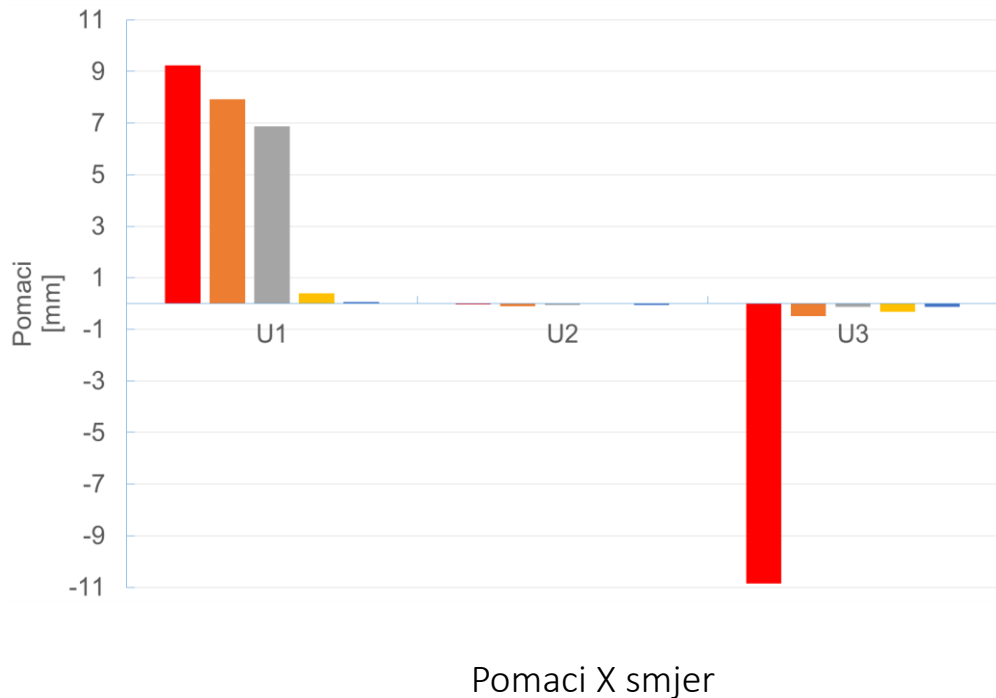
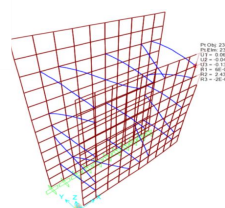
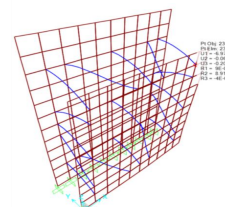
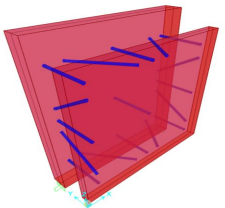


Optimizacija rasporeda spona – varijante ojačanja





Optimizacija rasporeda spona – usporedba rezultata





Zaključak

- **Održiv proizvod = održiva gradnja**
- Zamjena čeličnih spona s polimer kompozitnim sponama:
 - smanjen utjecaj točkastih toplinskih mostova
 - Smanjena „U“ vrijednost zidnog panela
- Laboratorijska ispitivanja – pomoć pri definiranju mehaničkih karakteristika materijala pri izradi numeričkog modela
- Krutost zidnog panela s polimernim kompozitnim sponama – ostvarena optimizacijom rasporeda spona



Hvala na pažnji ☺

